

МАТЕМАТИЧЕСКАЯ  
ФИЗИКА

УДК 519.6,551.46

ЧУВСТВИТЕЛЬНОСТЬ ФУНКЦИОНАЛОВ ОТ РЕШЕНИЯ ЗАДАЧИ  
ВАРИАЦИОННОГО УСВОЕНИЯ К ВХОДНЫМ ДАННЫМ О ПОТОКЕ  
ТЕПЛА ДЛЯ МОДЕЛИ ТЕРМОДИНАМИКИ МОРЯ<sup>1)</sup>

© 2023 г. Е. И. Пармузин<sup>1,\*</sup>, В. П. Шутяев<sup>1,\*\*</sup>

<sup>1</sup> 119333 Москва, ул. Губкина, 8, Институт вычислительной математики им. Г.И. Марчука РАН, Россия

\*e-mail: parm@inm.ras.ru

\*\*e-mail: victor.shutyaev@mail.ru

Поступила в редакцию 29.04.2022 г.  
Переработанный вариант 02.11.2022 г.  
Принята к публикации 15.12.2022 г.

Для математической модели термодинамики моря, разработанной в Институте вычислительной математики им. Г.И. Марчука РАН, рассматривается задача вариационного усвоения данных наблюдений с целью восстановления потоков тепла на поверхности моря. Исследована чувствительность функционалов от решения к входным данным о потоке тепла в рассматриваемой задаче вариационного усвоения и приведены результаты численных экспериментов для модели динамики Черного моря. Библ. 31. Фиг. 3.

**Ключевые слова:** вариационное усвоение данных наблюдений, оптимальное управление, сопряженные уравнения, ковариационные матрицы, чувствительность функционалов, модель термодинамики моря.

DOI: 10.31857/S0044466923040130, EDN: IPMMNL

ВВЕДЕНИЕ

В последние годы методы исследования и численного решения задач вариационного усвоения данных, представляющих собой конкретные задачи оптимального управления, получили большое развитие в метеорологии и океанографии, где данные наблюдений усваиваются в моделях атмосферы и океана с целью получения начальных, граничных условий или других параметров модели для последующего моделирования и прогноза (см. [1–9]).

При исследовании задач вариационного усвоения данных наблюдений важную роль играет анализ чувствительности оптимального решения и его функционалов по отношению к входным данным (см. [10–17]). Настоящая работа обобщает результаты предыдущих работ авторов на случай задачи вариационного усвоения данных с целью восстановления потоков тепла на поверхности моря при одновременном использовании ковариационных матриц ошибок данных наблюдений и ошибок начального приближения (бэкграунда). Проведено исследование чувствительности функционалов от оптимального решения задачи вариационного усвоения данных о температуре поверхности для модели термодинамики моря по отношению к входным данным о потоке тепла. С учетом свойств гессиана функции стоимости доказана теорема о представлении градиента функционала по отношению к данным бэкграунда, сформулирован алгоритм вычисления градиента функционала и приведены результаты численных экспериментов для модели динамики Черного моря, разработанной в ИВМ РАН.

1. ЗАДАЧА ВАРИАЦИОННОГО УСВОЕНИЯ ДАННЫХ  
ДЛЯ МОДЕЛИ ТЕРМОДИНАМИКИ МОРЯ

Рассмотрим задачу термодинамики моря в виде (см. [18], [19])

<sup>1)</sup> Работа выполнена при финансовой поддержке РФФ (проект 20-11-20057, исследования в разд. 1 и 2), а также при поддержке Отделения Московского центра фундаментальной и прикладной математики в ИВМ РАН (Соглашение с Минобрнауки РФ № 075-15-2022-286).

$$\begin{aligned}
T_t + (\bar{U}, \text{Grad})T - \text{Div}(\hat{a}_T \cdot \text{Grad}T) &= f_T \text{ в } D \times (0, \bar{t}), \quad T = T_0 \text{ при } t = 0 \text{ в } D, \\
-v_T \frac{\partial T}{\partial z} &= Q \text{ на } \Gamma_S \times (0, \bar{t}), \quad \frac{\partial T}{\partial N_T} = 0 \text{ на } \Gamma_{w,c} \times (0, \bar{t}), \\
\bar{U}_n^{(-)}T + \frac{\partial T}{\partial N_T} &= \bar{U}_n^{(-)}d_T + Q_T \text{ на } \Gamma_{w,op} \times (0, \bar{t}), \quad \frac{\partial T}{\partial N_T} = 0 \text{ на } \Gamma_H \times (0, \bar{t}),
\end{aligned} \tag{1.1}$$

где  $T = T(x, y, z, t)$  – неизвестная функция температуры,  $t \in (0, \bar{t})$ ,  $(x, y, z) \in D = \Omega \times (0, H)$ ,  $\Omega \subset R^2$ ,  $H = H(x, y)$  – функция рельефа дна,  $Q = Q(x, y, t)$  – суммарный приток тепла,  $\bar{U} = (u, v, w)$ ,  $\hat{a}_T = \text{diag}((a_T)_{ii})$ ,  $(a_T)_{11} = (a_T)_{22} = \mu_T$ ,  $(a_T)_{33} = \nu_T$ ,  $f_T = f_T(x, y, z, t)$  – заданные функции. Скорости  $u, v, w$  зависят в общем случае от пространства и времени, а коэффициенты  $\mu_T, \nu_T$  предполагаются зависящими только от пространственных переменных на рассматриваемом интервале по времени. Граница области  $\Gamma \equiv \partial D$  представляется как объединение четырех непересекающихся частей  $\Gamma_S, \Gamma_{w,op}, \Gamma_{w,c}, \Gamma_H$ , где  $\Gamma_S = \Omega$  (невозмущенная поверхность моря),  $\Gamma_{w,op}$  – жидкая (открытая) часть вертикальной боковой границы,  $\Gamma_{w,c}$  – твердая часть вертикальной боковой границы,  $\Gamma_H$  – дно моря. Другие обозначения и детальное описание постановки задачи можно найти в работах [20–22].

Запишем задачу (1.1) в форме операторного уравнения в  $(W_2^1(D))^*$ :

$$\begin{aligned}
T_t + LT &= F + BQ \text{ для п.в. } t \in (0, \bar{t}), \\
T &= T_0 \text{ при } t = 0,
\end{aligned} \tag{1.2}$$

где равенство понимается в обобщенном смысле, а именно,

$$(T_t, \hat{T}) + (LT, \hat{T}) = F(\hat{T}) + (BQ, \hat{T}) \quad \forall \hat{T} \in W_2^1(D), \tag{1.3}$$

а операторы  $L, F, B$  определяются интегральными соотношениями

$$\begin{aligned}
(LT, \hat{T}) &\equiv \int_D (-T \text{Div}(\bar{U}\hat{T})) dD + \int_{\Gamma_{w,op}} \bar{U}_n^{(+)}T\hat{T}d\Gamma + \int_D \hat{a}_T \text{Grad}(T)\text{Grad}(\hat{T})dD, \\
F(\hat{T}) &= \int_{\Gamma_{w,op}} (Q_T + \bar{U}_n^{(-)}d_T)\hat{T}d\Gamma + \int_D f_T\hat{T}dD, \\
(T_t, \hat{T}) &= \int_D T_t\hat{T}dD, \quad (BQ, \hat{T}) = \int_{\Omega} Q\hat{T}|_{z=0} d\Omega,
\end{aligned}$$

при этом функции  $\hat{a}_T, Q_T, f_T, Q$  таковы, что равенство (1.3) имеет смысл.

Рассмотрим задачу об усвоении данных о температуре поверхности моря, следуя [21], [23]. Предположим, что в задаче (1.1) функция  $Q \in L_2(\Omega \times (0, \bar{t}))$  не известна. Пусть задана функция данных наблюдений  $T_{\text{obs}}(x, y, t)$  на  $\bar{\Omega} \equiv \Omega \cup \partial\Omega$  при  $t \in (0, \bar{t})$ , которая по своему физическому смыслу есть приближение к функции поверхностной температуры на  $\Omega$ , т.е. к  $T|_{z=0}$ . Считаем, что  $T_{\text{obs}} \in L_2(\Omega \times (0, \bar{t}))$ . Допускается случай, когда  $T_{\text{obs}}$  имеется лишь на некотором подмножестве из  $\Omega \times (0, \bar{t})$ , характеристическую функцию которого обозначим через  $m_0$ . Вне этого подмножества для определенности считаем  $T_{\text{obs}}$  нулевой.

Будем предполагать, что данные наблюдений  $T_{\text{obs}}$  заданы с ошибками, а именно,

$$T_{\text{obs}} = m_0 T^t|_{z=0} + \xi_{\text{obs}},$$

где  $T^t$  – точное решение задачи (1.1) при некотором  $Q = Q^t$ , а  $\xi_{\text{obs}} \in Y_{\text{obs}} = L_2(\Omega \times (0, \bar{t}))$  рассматривается как ошибка наблюдений в пространстве наблюдений  $Y_{\text{obs}}$ . Предполагается, что ошибки  $\xi_{\text{obs}}$  случайные и они распределены по нормальному закону (гауссовские) с нулевым математическим ожиданием и ковариационным оператором  $R = E[(\cdot, \xi_{\text{obs}})\xi_{\text{obs}}], R: Y_{\text{obs}} \rightarrow Y_{\text{obs}}$ , где  $E$  – математическое ожидание. Ковариационные матрицы ошибок наблюдений играют важную роль при вариационном усвоении данных: обратные к ним матрицы включаются в качестве весовых

операторов в исходный функционал стоимости [8]. В дальнейшем мы будем предполагать, что  $R$  положительно определен и, значит, обратим.

Рассмотрим следующую задачу вариационного усвоения данных: найти  $T$  и  $Q$  такие, что

$$\begin{aligned} T_t + LT &= F + BQ, \quad t \in (0, \bar{t}), \\ T &= T_0 \quad \text{при} \quad t = 0, \\ J(Q) &= \inf_Q J(Q), \end{aligned} \tag{1.4}$$

где

$$J(Q) = \frac{1}{2} \iint_{\Omega} (Q - Q^{(0)}) \mathfrak{B}^{-1} (Q - Q^{(0)}) d\Omega dt + \frac{1}{2} \iint_{\Omega} (m_0 T|_{z=0} - T_{\text{obs}}) R^{-1} (m_0 T|_{z=0} - T_{\text{obs}}) d\Omega dt,$$

$Q^{(0)} = Q^{(0)}(x, y, t)$  – заданная функция,  $\mathfrak{B} : Y_{\text{obs}} \rightarrow Y_{\text{obs}}$  – ковариационный оператор ошибок бэкграунда. Функция  $Q^{(0)}$  обычно выбирается в качестве начального приближения для неизвестного потока  $Q$  (так называемый бэкграунд или фоновый поток). Цель вариационного усвоения данных – используя  $Q^{(0)}$ , найти лучшую оценку для  $Q$ , согласованную с решением модели и наблюдениями для дальнейшего моделирования и прогноза.

Слагаемое с весовым оператором  $\mathfrak{B}^{-1}$  играет роль регуляризации по Тихонову (см. [24]), он считается заданным при рассмотрении задачи. Если оператор  $\mathfrak{B}$  положительно определен, то поставленная задача вариационного усвоения данных имеет единственное решение. Существование оптимального решения следует из классических результатов теории экстремальных задач (см. [2]), так как можно показать, что решение задачи (1.2) непрерывно зависит от потока  $Q$  (имеют место априорные оценки в соответствующих функциональных пространствах).

Необходимое условие оптимальности  $\text{grad } J = 0$ , которое определяет решение сформулированной задачи вариационного усвоения данных, приводит к так называемой системе оптимальности (см. [2]):

$$\begin{aligned} T_t + LT &= F + BQ, \quad t \in (0, \bar{t}), \\ T &= T_0 \quad \text{при} \quad t = 0, \end{aligned} \tag{1.5}$$

$$\begin{aligned} -(T^*)_t + L^* T^* &= BR^{-1} m_0 (B^* T - T_{\text{obs}}), \quad t \in (0, \bar{t}), \\ T^* &= 0 \quad \text{при} \quad t = \bar{t}, \end{aligned} \tag{1.6}$$

$$\mathfrak{B}^{-1} (Q - Q^{(0)}) + B^* T^* = 0 \quad \text{на} \quad \Omega \times (0, \bar{t}), \tag{1.7}$$

где  $L^*, B^*$  – операторы, сопряженные к  $L, B$  соответственно.

## 2. ЧУВСТВИТЕЛЬНОСТЬ К ДАННЫМ О ПОТОКЕ ТЕПЛА

Рассмотрим функцию  $G(T, Q)$ , зависящую от  $T, Q$ , которая предполагается вещественнозначной и может рассматриваться как функционал на  $X = L_2(D \times (0, \bar{t})) \times L_2(\Omega \times (0, \bar{t}))$ . Нас интересует чувствительность функционала  $G(T, Q)$  к данным бэкграунда  $Q^{(0)}$  при условии, что  $T, Q$  получены после вариационного усвоения из системы оптимальности (1.5)–(1.7). Как известно из [1], [25], чувствительность функционала определяется градиентом по  $Q^{(0)}$ , который является производной Гаато:

$$\frac{dG}{dQ^{(0)}} = \frac{\partial G}{\partial T} \frac{\partial T}{\partial Q^{(0)}} + \frac{\partial G}{\partial Q} \frac{\partial Q}{\partial Q^{(0)}}. \tag{2.1}$$

Обозначим через  $\delta Q^{(0)}$  вариацию функции  $Q^{(0)}$ . Из (1.5)–(1.7) выводим систему оптимальности для вариаций:

$$\begin{aligned} \delta T_t + L\delta T &= B\delta Q, \quad t \in (0, \bar{t}), \\ \delta T &= 0 \quad \text{при} \quad t = 0, \end{aligned} \tag{2.2}$$

$$\begin{aligned} -(\delta T^*)_t + L^* \delta T^* &= BR^{-1} m_0 B^* \delta T, \quad t \in (0, \bar{t}), \\ \delta T^* &= 0 \quad \text{при} \quad t = \bar{t}, \end{aligned} \quad (2.3)$$

$$\mathcal{B}^{-1}(\delta Q - \delta Q^{(0)}) + B^* \delta T^* = 0 \quad \text{на} \quad \Omega \times (0, \bar{t}). \quad (2.4)$$

Отметим, что данные наблюдений  $T_{\text{obs}}$  уже не входят в систему (2.2)–(2.4), в отличие от (1.5)–(1.7). Система (2.2)–(2.4) эквивалентна следующей задаче усвоения данных для определения  $\delta T, \delta Q$  таких, что

$$\begin{aligned} \delta T_t + L \delta T &= B \delta Q, \quad t \in (0, \bar{t}), \\ \delta T &= 0 \quad \text{при} \quad t = 0, \\ S(\delta Q) &= \inf_Q S(Q), \end{aligned} \quad (2.5)$$

где

$$S(\delta Q) = \frac{1}{2} \iint_{0\bar{\Omega}} (\delta Q - \delta Q^{(0)}) \mathcal{B}^{-1}(\delta Q - \delta Q^{(0)}) d\Omega dt + \frac{1}{2} \iint_{0\bar{\Omega}} m_0 \delta T|_{z=0} R^{-1} \delta T|_{z=0} d\Omega dt. \quad (2.6)$$

Справедлива

**Лемма 1.** Гессиан  $\mathcal{H}$  функционала (2.6) определяется на  $v \in L_2(\Omega \times (0, \bar{t}))$  последовательным решением задач

$$\begin{aligned} \psi_t + L\psi &= Bv, \quad t \in (0, \bar{t}), \\ \psi &= 0 \quad \text{при} \quad t = 0, \end{aligned} \quad (2.7)$$

$$\begin{aligned} -(\psi^*)_t + L^* \psi^* &= BR^{-1} m_0 B^* \psi, \quad t \in (0, \bar{t}), \\ \psi^* &= 0 \quad \text{при} \quad t = \bar{t}, \end{aligned} \quad (2.8)$$

$$\mathcal{H}v = \mathcal{B}^{-1}v + B^* \psi^*. \quad (2.9)$$

**Доказательство.** Согласно системе оптимальности (2.2)–(2.4), градиент функционала (2.6) определяется по формуле

$$\text{grad } S = \mathcal{B}^{-1}(\delta Q - \delta Q^{(0)}) + B^* \delta T^*,$$

где  $\delta T^*$  – решение сопряженной задачи (2.3). Продифференцируем последнюю формулу еще раз по  $\delta Q$ , чтобы получить правило действия гессиана:

$$\mathcal{H}v = \mathcal{B}^{-1}v + B^* \psi^*,$$

где  $v$  – вариация  $\delta Q$ , а  $\psi^*$  – решение сопряженной задачи (2.8), которая есть не что иное, как продифференцированная задача (2.3). При этом  $\psi$  – решение задачи (2.7), которая получена из (2.2) дифференцированием по  $\delta Q$ . Лемма доказана.

Используя (2.7)–(2.9), нетрудно видеть (см. [26]), что система (2.2)–(2.4) эквивалентна уравнению для вариации оптимального решения  $\delta Q$ :

$$\mathcal{H} \delta Q = \mathcal{B}^{-1} \delta Q^{(0)}. \quad (2.10)$$

Гессиан  $\mathcal{H}$  действует в  $L_2(\Omega \times (0, \bar{t}))$  с областью определения  $D(\mathcal{H}) = L_2(\Omega \times (0, \bar{t}))$ , он ограничен, самосопряжен и неотрицательно определен. Если  $\mathcal{B}^{-1}$  положительно определен, то  $\mathcal{H}$  положительно определен, поскольку  $(\mathcal{H}v, v) \geq (\mathcal{B}^{-1}v, v)$ . В последнем случае уравнение (2.10) имеет единственное решение

$$\delta Q = \mathcal{H}^{-1} \mathcal{B}^{-1} \delta Q^{(0)}. \quad (2.11)$$

Формула (2.11) дает в явном виде выражение для вариаций оптимального решения  $\delta Q$  через вариацию функции начального приближения (бэкграунда)  $\delta Q^{(0)}$ . Уравнение вида (2.11) может быть положено в основу исследования чувствительности оптимального решения и его функционалов к ошибкам бэкграунда.

Справедлива

**Теорема 1.** *Градиент функционала  $G(T, Q)$  по  $Q^{(0)}$  имеет вид*

$$\frac{dG}{dQ^{(0)}} = \mathcal{B}^{-1} \mathcal{H}^{-1} \mathcal{F}, \tag{2.12}$$

где

$$\mathcal{F} = B^* \phi^* + \frac{\partial G}{\partial Q}, \tag{2.13}$$

$\mathcal{H}$  – гессиан, определенный формулами (2.7)–(2.9), а  $\phi^*$  – решение сопряженной задачи

$$\begin{aligned} -(\phi^*)_t + L^* \phi^* &= \frac{\partial G}{\partial T}, \quad t \in (0, \bar{t}), \\ \phi^* &= 0 \quad \text{при} \quad t = \bar{t}. \end{aligned} \tag{2.14}$$

**Доказательство.** Рассмотрим значение градиента (2.1) на вариации  $\delta Q^{(0)}$ :

$$\left( \frac{dG}{dQ^{(0)}}, \delta Q^{(0)} \right)_{Y_{\text{obs}}} = \left( \frac{\partial G}{\partial T}, \delta T \right)_Y + \left( \frac{\partial G}{\partial Q}, \delta Q \right)_{Y_{\text{obs}}}, \tag{2.15}$$

где  $\delta Q^{(0)}$  – вариация функции  $Q^{(0)}$ ,  $\delta T = \frac{\partial T}{\partial Q^{(0)}} \delta Q^{(0)}$ ,  $\delta Q = \frac{\partial Q}{\partial Q^{(0)}} \delta Q^{(0)}$  – решения системы (2.2)–(2.4),  $Y = L_2(D \times (0, \bar{t}))$ .

Задача (2.14) является сопряженной по отношению к (2.2), поэтому в силу соотношения сопряженности

$$\left( \frac{\partial G}{\partial T}, \delta T \right)_Y = (\phi^*, B \delta Q)_Y = (B^* \phi^*, \delta Q)_{Y_{\text{obs}}}. \tag{2.16}$$

Из (2.15)–(2.16) получаем

$$\left( \frac{dG}{dQ^{(0)}}, \delta Q^{(0)} \right)_{Y_{\text{obs}}} = \left( B^* \phi^* + \frac{\partial G}{\partial Q}, \delta Q \right)_{Y_{\text{obs}}} = (\mathcal{F}, \delta Q)_{Y_{\text{obs}}}, \tag{2.17}$$

где  $\mathcal{F}$  определяется по формуле (2.13).

Уравнение для  $\delta Q$  определяется формулой (2.11), отсюда

$$(\mathcal{F}, \delta Q)_{Y_{\text{obs}}} = \left( \mathcal{F}, \mathcal{H}^{-1} \mathcal{B}^{-1} \delta Q^{(0)} \right)_{Y_{\text{obs}}} = \left( \mathcal{B}^{-1} \mathcal{H}^{-1} \mathcal{F}, \delta Q^{(0)} \right)_{Y_{\text{obs}}}. \tag{2.18}$$

Таким образом, из (2.15)–(2.18) заключаем, что

$$\left( \frac{dG}{dQ^{(0)}}, \delta Q^{(0)} \right)_{Y_{\text{obs}}} = \left( \mathcal{B}^{-1} \mathcal{H}^{-1} \mathcal{F}, \delta Q^{(0)} \right)_{Y_{\text{obs}}}, \tag{2.19}$$

откуда следует утверждение теоремы.

Реальное (практическое) использование теоремы 1 может быть сформулировано в виде следующего алгоритма для вычисления градиента функционала. Градиент  $dG/dQ^{(0)}$  определяется последовательным выполнением следующих шагов:

1) решить сопряженную задачу

$$\begin{aligned} -(\phi^*)_t + L^* \phi^* &= \frac{\partial G}{\partial T}, \quad t \in (0, \bar{t}), \\ \phi^* &= 0 \quad \text{при} \quad t = \bar{t}, \end{aligned} \tag{2.20}$$

полагая

$$\mathcal{F} = B^* \phi^* + \frac{\partial G}{\partial Q};$$

2) найти  $u$  как решение уравнения с гессианом

$$\mathcal{H}u = \mathcal{F}; \quad (2.21)$$

3) вычислить градиент функционала по формуле

$$\frac{dG}{dQ^{(0)}} = \mathcal{B}^{-1}u. \quad (2.22)$$

Алгоритм (2.20)–(2.22) с учетом конкретного вида производных  $\partial G/\partial T$ ,  $\partial G/\partial Q$  использовался при численных расчетах для оценки чувствительности функционалов, связанных с температурой после усвоения данных наблюдений, по отношению к изменениям функции бэкграунда  $Q^{(0)}$ .

Отметим, что в процессе отыскания градиента функционала нет необходимости вычислять обратный гессиан  $\mathcal{H}^{-1}$ , который фигурирует в (2.12), достаточно просто решить задачу  $\mathcal{H}u = \mathcal{F}$  вида (2.21), например, итерационным методом.

Отметим также, что данные наблюдений  $T_{\text{obs}}$  предполагаются случайными величинами, их случайность учитывается в функции стоимости  $J(Q)$  через ковариационный оператор  $R$ , который входит в дальнейшем в определение гессиана (2.7)–(2.9).

### 3. РЕЗУЛЬТАТЫ ЧИСЛЕННЫХ ЭКСПЕРИМЕНТОВ

Численные эксперименты проводились с использованием трехмерной численной модели гидротермодинамики Черного и Азовского морей, разработанной в ИВМ РАН на основе метода расщепления (см. [22]) и дополненной процедурой усвоения температуры поверхности моря (ТПМ) для восстановления тепловых потоков  $Q$  с учетом ковариационных матриц ошибок наблюдений и ошибок бэкграунда.

Объектом моделирования является акватория Черного и Азовского морей. Параметры рассматриваемой области и ее географические координаты можно описать следующим образом:  $\sigma$ -сетка  $306 \times 200 \times 27$  (широта, долгота и глубина соответственно). Первая точка “сетки С” (см. [27]) имеет координаты  $26.65^\circ$  E и  $40.15^\circ$  N. Шаги сетки по  $x$  и  $y$  постоянны и равны 0.05 и 0.036 градуса соответственно. Шаг по времени равен  $\Delta t = 2.5$  мин.

Данные наблюдений ТПМ предоставлены спутниковой службой “See the Sea”, входящей в состав ЦКП “ИКИ Мониторинг”, которая занимается сбором и обработкой различных данных о состоянии земной поверхности и ориентируется на работу со спутниковыми наблюдениями (см. [28]). В качестве  $T_{\text{obs}}$  в данном эксперименте были выбраны данные ТПМ спектрометра VIIRS на спутнике SNPP и спектрометра MODIS на спутнике Aqua (несколько измерений в сутки в определенные моменты времени). Данные ТПМ за период с 1 января по 30 июня 2019 г. были пересчитаны на сетку численной модели (см. [29]). Для расчета атмосферного воздействия в модели использовались метеорологические характеристики, в том числе, балк-формулы для расчета турбулентных течений на поверхности моря. Рассчитанные таким же образом значения среднего климатического теплового потока  $Q^{(0)}$  использовались в процедуре усвоения данных в качестве начального приближения (бэкграунда).

Для расчета диагональных элементов ковариационной матрицы  $\mathcal{B}$  были получены данные о тепловом потоке на поверхности моря. Поток тепла на поверхности моря рассчитан по данным реанализа Era 5 ([www.ecmwf.int/en/forecasts/datasets/reanalysis-datasets/era5](http://www.ecmwf.int/en/forecasts/datasets/reanalysis-datasets/era5)) (см. [30]) за период с 1979 по 2020 г. Данные Era 5 загружались с временным разрешением 12 ч, что позволяет учитывать суточный ход изменений, разделять дневные и ночные потоки тепла. По данным за 1979–2020 гг. рассчитаны средние значения и дисперсии теплового потока по дневным и ночным данным для каждого дня года. Полученные дисперсии представляют собой диагональные элементы ковариационной матрицы ошибок бэкграунда  $\mathcal{B}$ . Аналогичным образом (см. [31]) на основе данных сервиса Copernicus (период с 1982 по 2019 г.) и данных ЦКП “ИКИ Мониторинг” о температуре поверхности моря рассчитывались элементы ковариационной матрицы ошибок данных наблюдений  $R$ .

В численных примерах рассматривались функционалы вида

$$G(T, Q) = \int_0^{\bar{t}} dt \int_{\Omega} F^*(x, y, t) T(x, y, 0, t) d\Omega, \tag{3.1}$$

где  $F^*(x, y, t)$  – некая весовая функция, связанная с полем температуры на поверхности  $z = 0$ . Так, для определения средней температуры в избранной акватории океана  $\omega$  при  $z = 0$  в интервале  $t_1 - \tau \leq t \leq t_1$  в качестве  $F^*$  выбирается функция

$$F^*(x, y, t) = \begin{cases} 1/(\tau \text{mes } \omega), & \text{если } (x, y) \in \omega, \quad t_1 - \tau \leq t \leq t_1, \\ 0 & \text{в противном случае,} \end{cases} \tag{3.2}$$

где  $\text{mes } \omega$  означает площадь района  $\omega$ . В этом случае функционал (3.1) представляется в виде

$$G(T, Q) = \frac{1}{\tau} \int_{t_1 - \tau}^{t_1} dt \left( \frac{1}{\text{mes } \omega} \int_{\omega} T(x, y, 0, t) d\Omega \right). \tag{3.3}$$

С использованием обозначений, введенных выше, функционал (3.1) записывается в виде скалярного произведения

$$G(T, Q) = \int_0^{\bar{t}} (BF^*, T) dt = (BF^*, T)_Y, \quad Y = L_2(D \times (0, \bar{t})).$$

В силу

$$\left( \frac{\partial G}{\partial T}, \delta T \right)_Y = (BF^*, \delta T)_Y,$$

производные от  $G$  по  $T, Q$ , входящие в (2.20)–(2.22), определяются по формулам

$$\frac{\partial G}{\partial T} = BF^*, \quad \frac{\partial G}{\partial Q} = 0. \tag{3.4}$$

Приведем результаты численных расчетов. При реализации алгоритма усвоения данных использовалась система (1.5)–(1.7). Расчет чувствительности выбранного функционала происходил на одном шаге по времени  $(t_k, t_{k+1})$ , где  $t_{k+1} = \bar{t} = t_k + \Delta t$ . На каждом из таких шагов была рассчитана чувствительность функционала к данным бэкграунда. Были выбраны два момента времени для расчета чувствительности функционала к данным бэкграунда: 31 мая 2019 г. 10 ч 25 мин (86 655 временных шагов модели) и 1 июля 2019 г. 23 ч 30 мин (104 820 временных шагов модели). Выбор данных моментов времени обусловлен тем, что в эти моменты времени данные со спутников покрывали почти всю исследуемую акваторию Черного и Азовского морей.

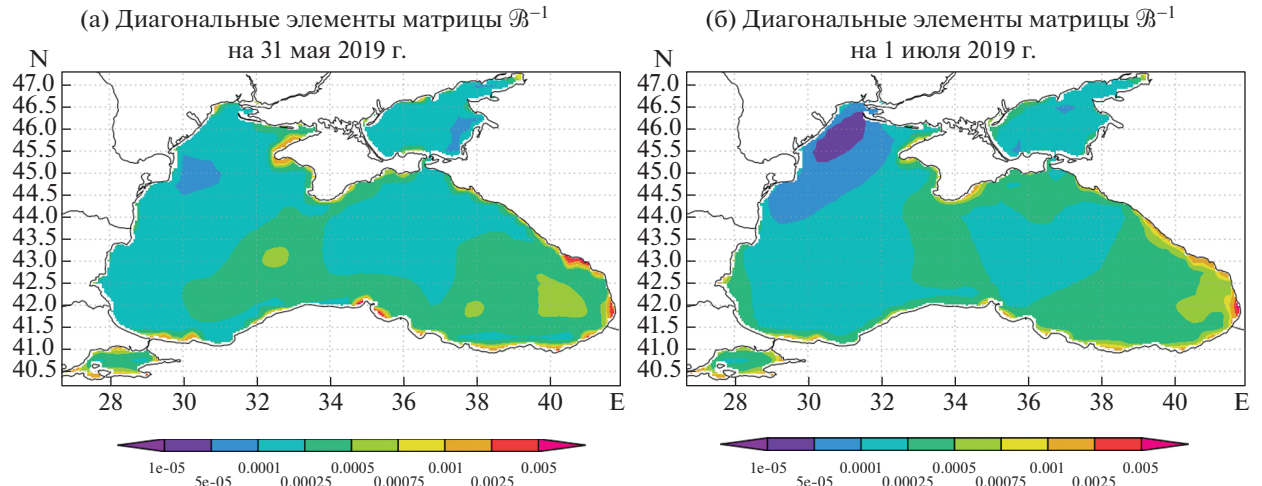
На фиг. 1 представлены значения диагональных элементов матрицы  $\mathcal{B}^{-1}$  в разные моменты времени. Так, диагональные элементы, рассчитанные на 31 мая 2019 г., показаны на фиг. 1а, а 1 июля 2019 г. – на фиг. 1б.

Значения диагональных элементов  $R^{-1}$  на эти же даты приведены на фиг. 2. Результаты расчета чувствительности к данным бэкграунда для 31 мая и 1 июля 2019 г. представлены на фиг. 3а и 3б соответственно, где даны градиенты функции отклика в разные моменты времени.

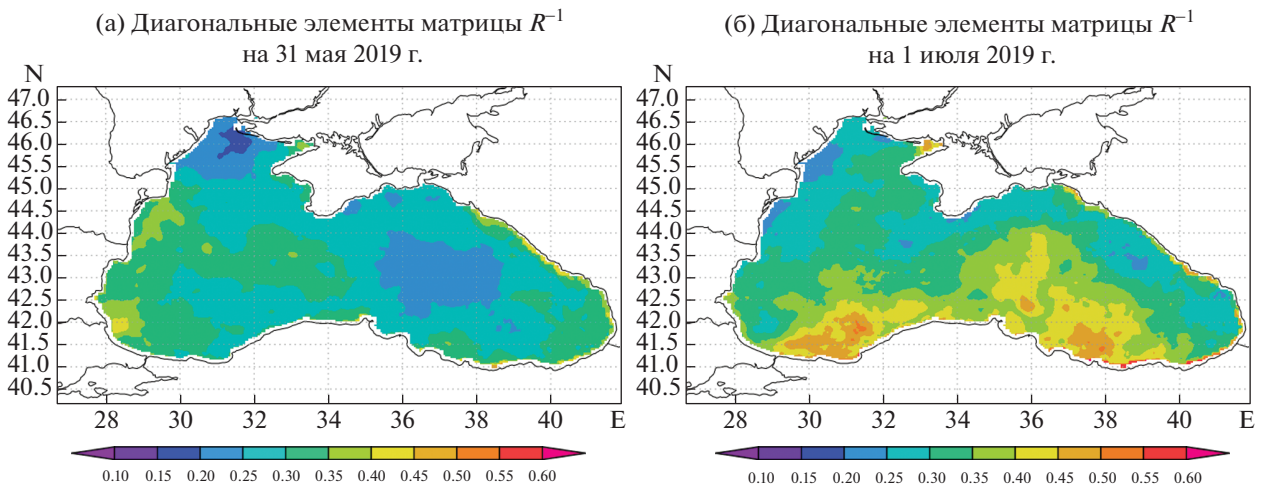
Стоит отметить, что результаты, полученные в эксперименте в рассматриваемые моменты времени, не сильно отличаются друг от друга. Характерной особенностью является малая чувствительность функционала к данным бэкграунда в центральной, наиболее глубокой, области Черного моря. В областях с меньшей глубиной прослеживается возрастание чувствительности, которая принимает максимальные значения в некоторых точках на границе области как в Черном, так и в Азовском морях.

В целом чувствительность рассматриваемого функционала к данным бэкграунда намного меньше, чем чувствительность к данным наблюдений, исследованная в [23].

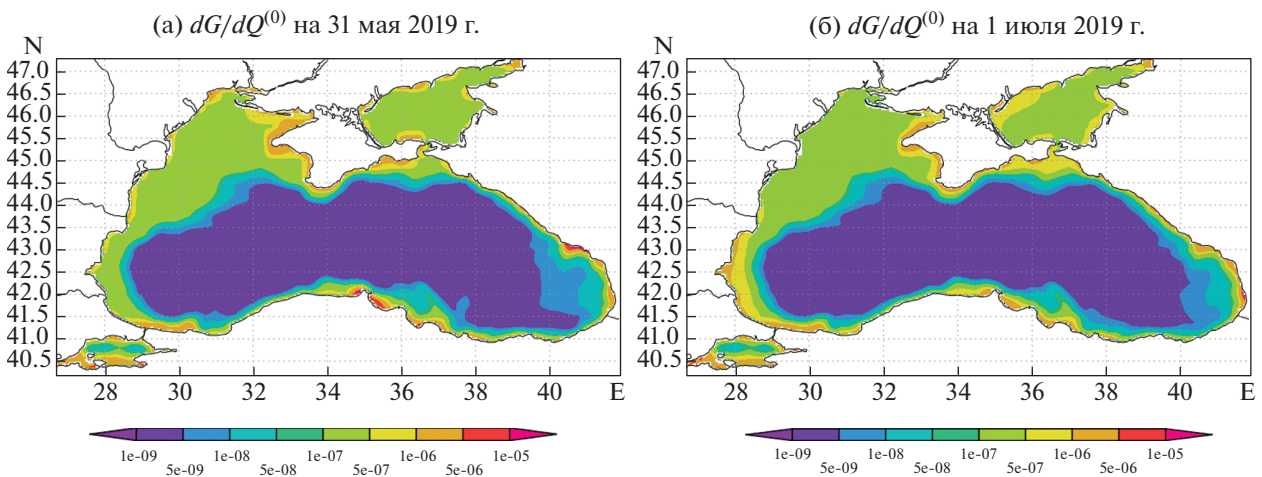
Этот результат подтверждается прямым вычислением функционала  $G(T, Q)$  в соответствии с (3.3), полученным после вариационного усвоения, путем введения возмущений в данные бэкграунда  $Q^{(0)}$ , следуя работе [23].



Фиг. 1. Значения диагональных элементов матрицы  $\mathcal{B}^{-1}$  в численном эксперименте для различных моментов времени.



Фиг. 2. Значения диагональных элементов матрицы  $R^{-1}$  в численном эксперименте для различных моментов времени.



Фиг. 3. Градиент функционала  $G(T, Q)$  в различные моменты времени.



Таким образом, сформулированный алгоритм (2.20)–(2.22) позволяет оценивать чувствительность функционалов, связанных с температурой поверхности моря после усвоения, по отношению к ошибкам данных бэкграунда.

### ЗАКЛЮЧЕНИЕ

С использованием трехмерной модели гидротермодинамики Черного моря, разработанной в ИВМ РАН, в настоящей работе проведено исследование чувствительности функционалов от решения задачи вариационного усвоения данных с восстановлением потоков тепла на поверхности моря. Разработанный алгоритм позволяет вычислять градиенты функционалов от решения задачи после усвоения по отношению к входным данным о потоке тепла. Вычисление градиента функционала требует однократного решения уравнения с гессианом функции стоимости и решения сопряженной задачи. Для решения этого уравнения нет необходимости вычислять обратный гессиан в явном виде, тем не менее, было бы интересно в будущем провести аналитические оценки обратного гессиана, например, через собственные значения, и использовать их для оценки чувствительности. Численные эксперименты для модели динамики Черного моря подтверждают работоспособность предложенного алгоритма. Проведенные исследования могут быть полезны для решения проблемы определения районов моря, в которых функционалы от оптимального решения являются наиболее чувствительными к произвольным возмущениям в исходных данных бэкграунда при использовании процедуры вариационного усвоения, в том числе в случаях, когда значения этих возмущений заранее не известны.

Авторы благодарны рецензенту за полезные замечания, которые позволили улучшить представление результатов и изложение материала в статье.

### СПИСОК ЛИТЕРАТУРЫ

1. *Marchuk G.I.* Adjoint Equations and Analysis of Complex Systems. Dordrecht: Kluwer, 1995.
2. *Lions J.L.* Contrôle optimal des systèmes gouvernés par des équations aux dérivées partielles. Paris: Dunod, 1968.
3. *Sasaki Y.K.* An objective analysis based on the variational method // *J. Meteor. Soc. Japan.* 1958. V. 36. P. 77–88.
4. *Пененко В.В., Образцов Н.Н.* Вариационный метод согласования полей метеорологических элементов // *Метеорология и гидрология.* 1976. № 11. С. 1–11.
5. *Пененко В.В.* Методы численного моделирования атмосферных процессов. Л.: Гидрометеоздат, 1981.
6. *Le Dimet F.X., Talagrand O.* Variational algorithms for analysis and assimilation of meteorological observations: theoretical aspects // *Tellus.* 1986. V. 38A. P. 97–110.
7. *Агошков В.И.* Методы оптимального управления и сопряженных уравнений в задачах математической физики. М.: ИВМ РАН, 2003.
8. *Mogensen K., Balmaseda M.A., Weaver A.T., Martin M., Vidard A.* NEMOVAR: a variational data assimilation system for the NEMO ocean model // *ECMWF Technical Memorandum.* 2009. No. 120.
9. *Пененко А.В.* Математическое моделирование процессов адвекции-диффузии-реакции с усвоением данных наблюдений и решением обратных задач. Автореф. дисс. ... докт. физ.-матем. наук. Новосибирск: ИВМ и МГ СО РАН, 2021.
10. *Le Dimet F.-X., Ngodock H.E., Luong B., Verron J.* Sensitivity analysis in variational data assimilation // *J. Meteorol. Soc. Japan.* 1997. V. 75 (1B). P. 245–255.
11. *Le Dimet F.-X., Navon I.M., Daescu D.N.* Second-order information in data assimilation // *Month. Wea. Rev.* 2002. V. 130 (3). P. 629–648.
12. *Le Dimet F.-X., Shutyaev V.* On deterministic error analysis in variational data assimilation // *Nonlin. Process. Geophys.* 2005. V. 12. P. 481–490.
13. *Gejadze I., Le Dimet F.-X., Shutyaev V.P.* On analysis error covariances in variational data assimilation // *SIAM J. Sci. Comput.* 2008. V. 30. No. 4. P. 1847–1874.
14. *Gejadze I., Le Dimet F.-X., Shutyaev V.P.* On optimal solution error covariances in variational data assimilation problems // *J. Comp. Phys.* 2010. V. 229. P. 2159–2178.
15. *Gejadze I., Shutyaev V.P., Le Dimet F.-X.* Analysis error covariance versus posterior covariance in variational data assimilation // *Q. J. R. Meteorol. Soc.* 2013. V. 139. P. 1826–1841.
16. *Агошков В.И., Пармузин Е.И., Шутяев В.П.* Ассимиляция данных наблюдений в задаче циркуляции Черного моря и анализ чувствительности ее решения // *Изв. РАН. Физика атмосферы и океана.* 2013. Т. 49. № 6. С. 643–654.
17. *Шутяев В.П., Ле Диме Ф.* Чувствительность функционалов задач вариационного усвоения данных // *Докл. АН. Математика.* 2019. Т. 486. № 4. С. 421–425.

18. *Алексеев В.В., Залесный В.Б.* Численная модель крупномасштабной динамики океана / Вычислительные процессы и системы. М.: Наука, 1993. С. 232–253.
19. *Марчук Г.И., Дымников В.П., Залесный В.Б.* Математические модели в геофизической гидродинамике и численные методы их реализации. Л.: Гидрометеиздат, 1987.
20. *Agoshkov V.I., Gusev A.V., Diansky N.A., Oleinikov R.V.* An algorithm for the solution of the ocean hydrothermodynamics problem with variational assimilation of the sea level function data // Russ. J. Numer. Anal. Math. Modelling. 2007. V. 22 (2). P. 133–161.
21. *Агошков В.И., Пармузин Е.И., Шутяев В.П.* Численный алгоритм вариационной ассимиляции данных наблюдений о температуре поверхности океана // Ж. вычисл. матем. и матем. физ. 2008. Т. 48. № 8. С. 1371–1391.
22. *Zalesny V.B., Diansky N.A., Fomin V.V., Moshonkin S.N., Demyshev S.G.* Numerical model of the circulation of the Black Sea and the Sea of Azov // Russ. J. Numer. Anal. Math. Model. 2012. V. 27. No. 1. P. 95–112.
23. *Shutyaev V., Parmuzin E., Gejadze I.* Stability analysis of functionals in variational data assimilation with respect to uncertainties of input data for a sea thermodynamics model // Russ. J. Numer. Anal. Math. Model. 2021. V. 36. No. 6. P. 347–357.
24. *Тихонов А.Н.* О решении некорректно поставленных задач и методе регуляризации // ДАН СССР. 1963. Т. 151. No. 3. P. 501–504.
25. *Sacuci D.G.* Sensitivity theory for nonlinear systems: II. Extensions to additional classes of responses // J. Math. Phys. 1981. V. 22. P. 2803–2812.
26. *Шутяев В.П.* Операторы управления и итерационные алгоритмы в задачах вариационного усвоения данных. М.: Наука, 2001.
27. *Diansky N.A., Bagno A.V., Zalesny V.B.* Sigma model of global ocean circulation and its sensitivity to variations in wind stress // Izv. Atmos. Ocean. Phys. 2002. V. 38. No. 4. P. 477–494.
28. *Лунян Е.А., Матвеев А.А., Уваров И.А., Бочарова Т.Ю., Лаврова О.Ю., Митягина М.И.* Спутниковый сервис See the Sea – инструмент для изучения процессов и явлений на поверхности океана // Совр. пробл. дистанционного зондирования Земли из космоса. 2012. Т. 9. № 2. С. 251–261.
29. *Zakharova N.B., Agoshkov V.I., Parmuzin E.I.* The new method of ARGO buoys system observation data interpolation // Russ. J. Numer. Anal. Math. Model. 2013. V. 28. No. 1. P. 67–84.
30. *Hersbach H. et al.* The ERA5 global reanalysis // Q. J. R. Meteorol. Soc. 2020. V. 146. P. 1999–2049.
31. *Агошков В.И., Шутяев В.П., Пармузин Е.И., Захарова Н.Б., Шелопут Т.О., Лезина Н.Р.* Вариационная ассимиляция данных наблюдений в математической модели динамики Черного моря // Морской гидрофиз. журн. 2019. Т. 35. № 6. С. 585–599.